

# 粒子流の法線応力の性状

立命館大学理工学部 大同淳之

1. はしがき 固体粒子を含む流体をせん断すると、固体粒子がせん断方向にある角度 $\alpha$ をもって衝突することから、Bagnold<sup>1)</sup>は法線方向に分力 $P$ が生ずるとして、せん断力 $T$ と $P$ との間には、ノーロン型の  $T = p \tan \alpha$  の関係がなりたつとし、 $p$ としては、実験を行って、 $p = a(\lambda d)^2 (du/dy)^2$  の関係式を得た。ここに $a$ は係数、 $\lambda$ は粒子容積濃度の一表現、 $\alpha$ は固体粒子の衝突角度である。上の関係式を斜面上の砂れき流に適用すると、砂れき流の流速分布および平均流速を比較的良く説明する<sup>2)</sup>。ただし、Bagnold の実験は粒径 $d$ が 0.132 cm のただ一つの場合の測定に限られている。山地斜面上に生ずる砂れき流を対象とすると、さきの実験のように固体粒子の慣性効果が卓越する場合のほかに、媒質である流体の粘性効果が優勢な場合も考えられる。これらの流れの取扱いを考慮すると、法線方向分力 $p$ の性質をより明確にする必要がある。そこで、Bagnold の方法にならって、法線方向力 $p$ の測定を行なった。

## 2. 実験の範囲と圧力の測定法

図1に示すように、共軸二重円筒型粘度計の内筒を表面をゴム張りとし、粒子混相流をせん断によって法線方向力が生じたとき、この力によつてゴム膜裏側の気密部の圧力が上昇するとして、この圧力上昇を測定することにする。これが求められるとした。用いた粘度計の寸法は、外筒直徑 11.4 cm、内筒直徑 8.6 cm または 7.6 cm で、内外筒の間げきは 1.4 cm または 1.9 cm で試料液の深さは 14 cm である。測定に用いた液体と固体粒子の組合せは、表1に示すとおりである。固体粒子と液体の密度差をできるだけ少なくするよう配慮した。

測定器の回転速度は 200 回転/分である。測定は所定の粒子濃度に調整した試料を測定器の間げきに満たし、このときにゴム面に作用する圧力を零として、せん断時ににおける増加圧力を法線方向力 $p$ とした。この方法による圧力の測定法では、つぎのことことが問題になる。i) 圧力が微小で、力がゴムに吸収され、気密部への圧力の伝達が線形でない恐れがある。ii) 流体のせん断に伴うゴム膜の歪みによる

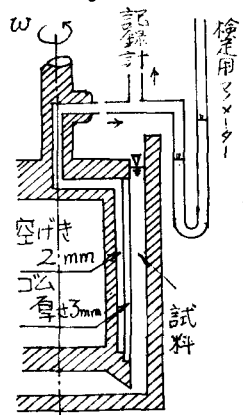


図1. 法線力測定装置構成  
表1. 実験に用いた粒子と液体

粒子	液体			
	粗成	$\sigma$ %	1 cm	$C$ %
パラフィン 粒子	0.863	0.585 0.404	0.15	0.94 15.
" "	"	0.585 0.404	0.48	0.94 30
合成樹脂 粒子	1.062	0.012 0.50	0.45 1.07	0.12

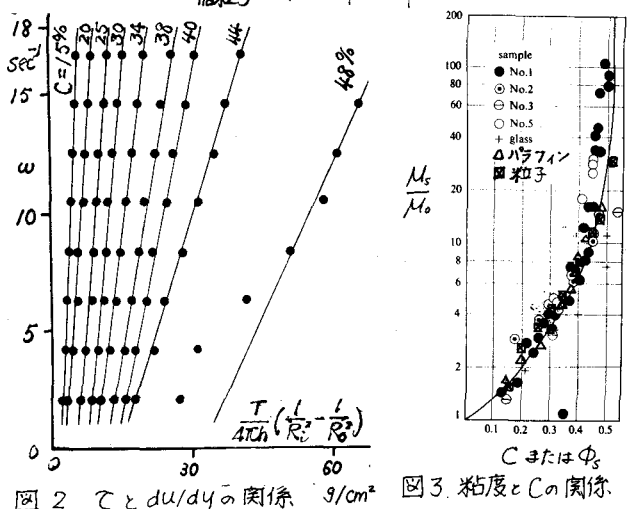


図2  $T$  と  $du/dy$  の関係

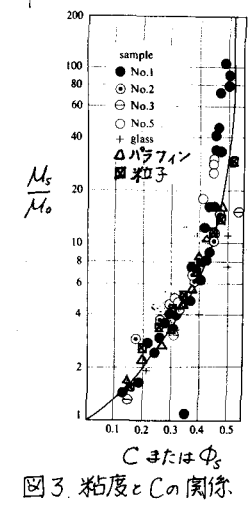


図3. 粘度と $C$ の関係

圧力の発生、iii) 固体粒子の偏在による圧力の発生、などが考えられる。i)については検定によつて補正し、ii)は流体のみの場合に圧力は生じていないので問題はないとして、iii)については常に試料がゴム膜全体を覆つてゐるよう注意することで、できるだけこの影響を少くした。

なお、ここで対象とする流体の流動特性は、その一例を図2に示すように、横軸にせん断力で相当する  $(T/4\pi h)(R_i^2 - R_o^2)$  、縦軸にひずみ速度  $du/dy$  に相当する角速度  $\omega$  で表わしたとき、塑性流体としての性質を示す。降伏値  $\eta_0$  は小さいのでしばらくおき、図2から比粘度  $\mu_r = \mu_s/\mu_0$  、 $\mu_0$  は液体のみの粘度を求める、容積濃度  $C$  を整理すると、さきに提案した粘度式とよく一致してゐる。

### 3. 法線方向力 $P$

Bagnold<sup>1)</sup>は、粒子の衝突による法線力  $P$  をつぎのようにして求めた。すなはち、粒子流と図4のようにモデル化し、A 単位時間に B 層の粒子が A 層の粒子に衝突する割合を  $f(\lambda) \frac{\delta U}{S}$  、 $xz$  面にある粒子の数を  $1/bd^2$  、1個の粒子による法線力を、粒子の衝突を弾性衝突として  $2m \delta U \cos \alpha$  とし、

$$P_y = \frac{1}{bd^2} f(\lambda) \frac{\delta U}{S} 2m \delta U \cos \alpha \quad (1)$$

とした。ここに入は  $d/S$  、 $f(\lambda)$  は未知関数である。(1)式を整理すると、

$$P_y = \alpha \lambda f(\lambda) d^2 (du/dy)^2 \cos \alpha \quad (2)$$

となる。(1)式が正しいとすると、 $\log P_y$  、 $\log d(du/dy)$  は直線関係をもつ。図5は、測定値を用いて、この関係が成立つかどうか調べたもので、Bagnold の実験よりも、比較的、媒質の粘性効果が大きい場合でも(1)式の考え方が成立つようである。ただ圧力は Bagnold の測定した結果よりかなり小さく、したがって係数はオーダーが1桁程度小さくなる。この係数の決定については、さらに幅広く実験を行なうつもりである。

まことに、Bagnold の方法にしたがつて粒子流せん断試験装置を試作し、法線方向の力  $P$  を測定した。比較的粘性効果の優勢な場合について測定したが、実験結果は固体粒子の慣性効果に重きをおいた式と同じ関係を示したが、絶対値はかなり小さい結果を得た。本研究は文部省科学研究費の補助を受けた謝意を表する。なおこの実験は、李学学生、内藤敏弘、西村龍一、成松慶太郎によつて行なわれた。併せて謝意を述べる。

- 1) Bagnold; Experiments on a gravity-free dispersion of large solid spheres in a Newtonian fluid under shear, Proc. Inst. Civil Eng., 49 Part 3 174 1955
- 2) 大同淳之; 息引配上の多量の砂れきを含む流れの流動特性; 土木学会18回水理講演集, 昭49.2
- 3) 大同淳之; 土砂と多量に含む流体の粘度と降伏値; 土木学会15回水理講演集, 昭46.2

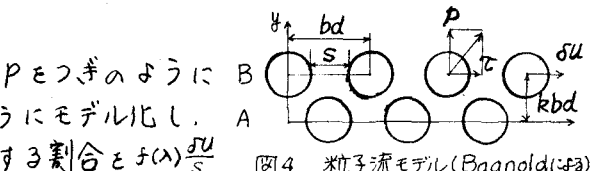


図4 粒子流モデル(Bagnoldモデル)

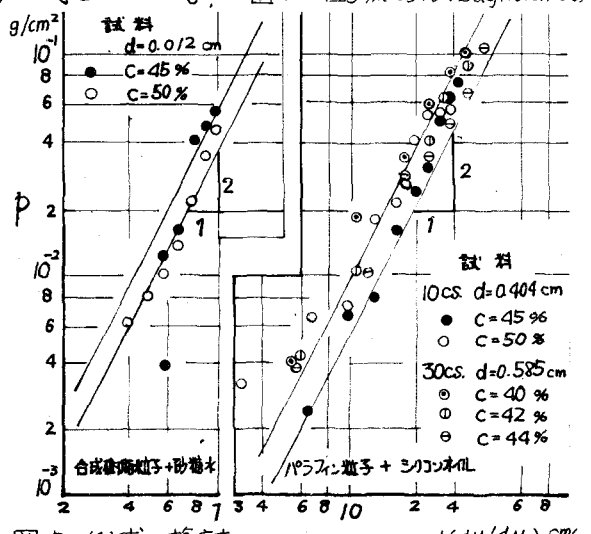


図5, (1)式の検討

$d(du/dy)/cm/sec$

合成運動粒子数密度

パラフィン粒子 + シリコンオイル

合成運動粒子数密度

合成運動粒子数